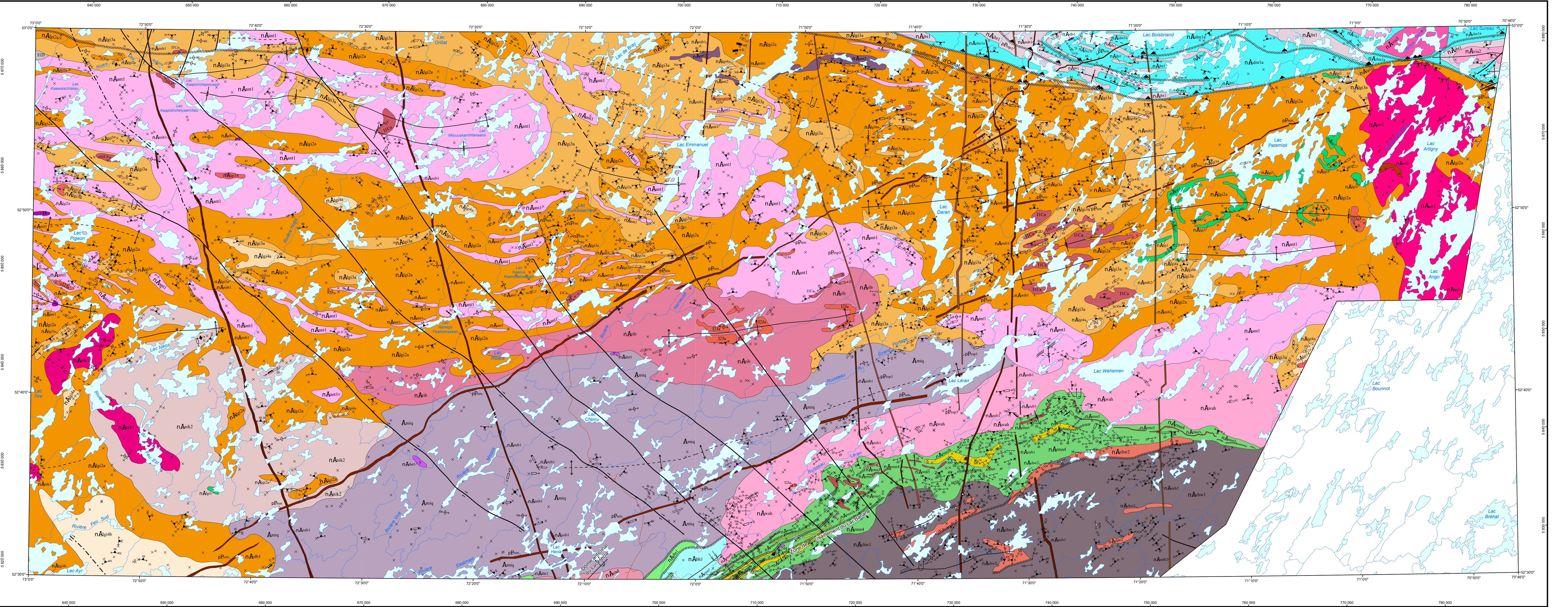


Région de la baie James, sous-provinces d'Opatica, d'Opinaca et de La Grande, Eeyou Istchee Baie-James, Québec, Canada



LÉGENDE STRATIGRAPHIQUE

PROVINCE DU SUPÉRIEUR
NÉOPROTÉROZOÏQUE

Kimberlite de Renard (640 ±2,8 Ma, Godin et al., 2016)
nBma Kimberlite

PALÉOPROTÉROZOÏQUE

Dykes du Lac Esprit (2069 ±1 Ma, Hamilton et al., 2001; 2090 Ma, Hamilton, comm. pers., 2016)
pEsp1 Diabase : Gabbronorite à magnétite, massive, microporphyrque, localement aphanitique

Dykes de Senneterre (2214,3 ±12,4 Ma, Buchan et al., 1993; 2216 +8/-4 Ma, Mortensen dans Buchan et al., 1996; 2221 ±4 Ma, Davis et al., 2018)
pSen Diabase : Gabbronorite et gabbro, à magnétite ± olivine

NÉOARCHÉEN

Essaim de dykes de Mistassini (2515 ±3 Ma, Hamilton, 2009; 2503 ±2 Ma, Davis et al., 2018)
nAmib2 Diabase : Norite à clinopyroxène et magnétite
nAmib1 Diabase : Gabbronorite à magnétite

Suite de Lablois (2671,6 - 2619,6 Ma, David et al., 2011; Goutier et al., 2021)
nSlb1 Métawebstérite à biotite, phlogopite, et actinote-trémolite

Suite de Dutreuil
nAdut1 Métapéridotite et métapyroxénite à trémolite et serpentine

Suite de Viau (2572 ±1 - 2571 ±2 Ma, David et Parent, 1997; Parent, 1998)
nVia3 Granite massif à biotite, allanite, magnétite et fluorine
nVia2 Granite leucocrate, porphyroïde, localement pegmatitique, homogène, à biotite, hornblende et magnétite

SOUS-PROVINCE D'OPINACA
NÉOARCHÉEN

Suite d'Ango
Pluton d'Artigny (2589 ±4 Ma, Davis et Sutcliffe, 2018a)
nArt2 Mangérite massive à hornblende et magnétite
nArt1 Granite et monzodiorite quartzifère, localement granodiorite, massives, porphyroïdes à phénocristaux de feldspath potassique; enclaves de paragneiss

Suite de Des Antons (2658 ±8 Ma, Davis et Sutcliffe, 2018a)
nAnt2 Tonalite massive à foliée, à biotite et magnétite
nAnt1 Granite massif à biotite, magnétite ± orthopyroxène; enclaves de paragneiss et de métatexite

Suite de Nikos
nNik2 Granite, monzonite quartzifère et monzonite, massifs, hétérogènes, à biotite et magnétite
nNik1 Granodiorite et tonalite massives à foliées, à biotite, magnétite, hornblende

Pluton de Ribera
nRib Granite à biotite et magnétite, massif à légèrement folié; localement granodiorite

Complexe de Laguiche (>2710,4 ±2,4 Ma et >2671,6 ±1,8 Ma, Augland et al., 2016; David et al., 2011)
nAlg14 Granite d'anatexie à biotite ± magnétite
nAlg14b Diatexite de paragneiss et de roches intermédiaires souvent injectée de granite d'anatexie
nAlg14a Diatexite de paragneiss à biotite, orthopyroxène ± grenat ± amphibole, contenant plus de 50 % de mobilisat; souvent injectée par du granite
nAlg13a Métagraine de paragneiss à biotite, orthopyroxène ± grenat ± amphibole, contenant 10 à 50 % de mobilisat; souvent injectée par du granite

SOUS-PROVINCE D'OPATICA
NÉOARCHÉEN

Suite de Wahemen (2640 ±10 Ma, Davis et Sutcliffe, 2018)
nAwah Granite et pegmatite à muscovite, biotite, grenat ± tourmaline

Suite de Cadieux (2700 - 2699 Ma, David, 2019; Davis et Sutcliffe, 2018b)
nAcad Granodiorite foliée à biotite, hornblende, magnétite, porphyroïde à feldspath potassique

Pluton de Chiyaaskw (2746 ±3 Ma, Davis et Sutcliffe, 2018a)
nAch2 Diorite et diorite quartzifère à hornblende ± biotite ± magnétite, foliées, localement avec enclaves d'amphibolite, injectées de granite
nAchwl Tonalite et diorite quartzifère à biotite ± hornblende ± magnétite, foliées, localement rubanées et gneissiques, injectées de granite

Groupe de Bohier (<2712 ±6 Ma, Davis et Sutcliffe, 2018b)
nAbh1 Paragneiss de wacke et wacke lité à biotite ± grenat

Groupe de René
NÉOARCHÉEN

Formation de Dolent (2751 ±5 Ma, Davis, 2019)
nAdln1 Basalte amphibolisé, coussiné et en coulée massive; quantité mineure de tuf felsique de gabbro

Formation de Roman (2770 ±6 Ma et 2770 ±3 Ma, Davis et Sutcliffe, 2018a et 2018b)
nArmn8 Sill ultramafique
nArmn7 Paraschiste et paragneiss de wacke
nArmn6 Mudstone et chert graphiteux
nArmn5 Formation de fer et amphibolite à grenat
nArmn4 Basalte amphibolisé
nArmn3 Gabbro
nArmn1b Tuf felsique à cendres, à lapillis et à blocs, rhyodacite et dacite

ARCHÉEN

Complexe de Misasque (3024 - 2695 Ma, Davis, 2019; Davis et Sutcliffe, 2018a)
Amiq Gneiss tonalitique, dioritique et granitique variablement migmatisé, tonalite homogène et foliée et granite

LÉGENDE LITHOLOGIQUE

NÉOARCHÉEN

I4 Roche intrusive ultramafique

ARCHÉEN

IICa Granodiorite et tonalite foliées à biotite ± amphibole ± magnétite
IID Tonalite à biotite, massive
I2Ja Diorite, diorite quartzifère et monzodiorite quartzifère à biotite, amphibole, magnétite ± orthopyroxène
I4 Roche intrusive ultramafique

Cette carte géologique en format PDF comporte des calques (ou couches) qui regroupent les divers éléments du document (zones géologiques, hydrographie, affleurements de géofiche, etc.). Ces calques peuvent être affichés ou masqués dans la section « Calques » du « Volet du navigateur » d'Adobe Acrobat Reader ©.

Les symboles et abréviations utilisés sur cette carte sont décrits dans la publication DV 2014-06 du ministère des Ressources naturelles et des Forêts.

Localisation

A map of Canada with a grid overlay. A specific area in the Northwest Territories is highlighted with a blue rectangle. The map shows the provincial and territorial boundaries.

	33H03	33H02	33H01	23E04	23E03	23E02
33A14	33A15	33A16	23D13	23D14	23D15	
33A11	33A10	33A09	23D12	23D11	23D10	
	33A06	33A07	33A08	23D05	23D06	23D07

Surface
Système
Project
Longitude
Latitude

0

1/150

que :	Ellipsoïde GRS 80
ique :	NAD 83 compatible avec le système mondial WGS 84
	Mercator transverse universelle (MTU), fuseau 18
	72°

Source

Organisme
Ministère des Ressources naturelles et des Forêts

R

Réalisation	
Géologie :	Francis Talla Takam, Anne-Marie Beauchamp, Frédéric Massei et Hanafi Hammouche (2016)
Références :	Avramtchev, L. (1983) - DPV 940 Hocq, M. (1985) - ET 83-05 Massei, F., Hammouche, H. (2016) - CG 2016-09 Talla Takam, F., Beauchamp, A.-M. (2016) - CG 2016-08
Assistance technique :	Kathleen O'Brien, Stéphane Beauséjour, Karine Allard
Production :	Ministère des Ressources naturelles et des Forêts Direction générale de Géologie Québec
Diffusion :	Ministère des Ressources naturelles et des Forêts Direction de l'information géologique et de la promotion

BG 2016-01-C01